

СТЕКАНИЕ ПЛЁНКИ ЖИДКОСТИ В ПОДЪЁМНОЙ ТРУБЕ ЭРЛИФТНОЙ УСТАНОВКИ

Малеев В.Б., канд. техн. наук, доц.,

Малыгин С.С., канд. техн. наук., доц., Удовенко С.А., аспирант,

Донецкий национальный технический университет

Получена зависимость для определения толщины пленки, движущейся по стенкам подъемной трубы эрлифта.

The dependence for define of film's thickness which is moving on the walls of airlift hoist pipe is received.

При подъёме газожидкостной смеси в эрлифте, на внутренних стенках подъёмной трубы образуется пленка жидкости, которая под влиянием гравитационных сил стекает по направлению к смесителю эрлифта. В связи с этим появляется некоторый объём жидкости, который необходимо постоянно поднимать к воздухоотделителю, затрачивая дополнительную энергию. Прекращение движения пленки или её увлечение потоком смеси на определённых участках трубы снизит потери энергии на скольжение за счёт уменьшения относительной скорости пленки и газожидкостного столба, что повысит КПД эрлифтной установки. Поэтому необходимо изучить характер взаимодействия пленки с поднимаемой газожидкостной смесью и определить основные параметры пленки, стекающей по подъёмной трубе эрлифта, поскольку ранее этому вопросу вообще не уделялось внимания.

Процесс стекания пленок жидкости по плоским и кривым поверхностям рассмотрен в ряде работ [1-7]. Однако большинство таких работ носит экспериментальный характер. В них были получены зависимости для определения толщины и скорости жидкости в пленках при различных режимах их течения. При этом процесс стекания рассматривался без учета воздействия встречного потока на течение пленки и только работах [5,6] было рассмотрено движение пленки под влиянием потока газа.

Поэтому целью статьи является определение основных параметров жидкостной пленки, стекающей по подъёмной трубе эрлифта, при условии взаимодействия ее поверхности с газожидкостной сме-

сью, транспортируемой вертикально вверх к воздухоотделителю при турбулентном режиме течения.

Стекание плёнки, при подъёме газожидкостной смеси в эрлифте, происходит по трубе круглого сечения. В отличии от течения по плоской поверхности, кривизна трубы будет вызывать искривление поверхности плёнки. В работе [4] было рассмотрено влияние кривизны поверхности стекания на параметры стекающей плёнки и отмечено, что относительная погрешность изменения параметров плёнки для рассмотренных в работе случаев составила менее 3%. То есть радиус кривизны поверхности практически не влияет на изменение геометрических параметров плёнки, и при стекании последней по поверхности, имеющей радиус кривизны, её можно рассматривать как плёнку, стекающую по плоской поверхности. С учётом этого, рассмотрим течение плёнки, пренебрегая кривизной подъемной трубы эрлифта и принимая во внимание влияние на пленку потока газожидкостной смеси, движущегося во встречном направлении. Полагаем, что газожидкостный поток не вызывает образование волн на поверхности плёнки, а толщина пограничного слоя пленки увеличивается до величины при которой расход жидкости в пограничном слое будет

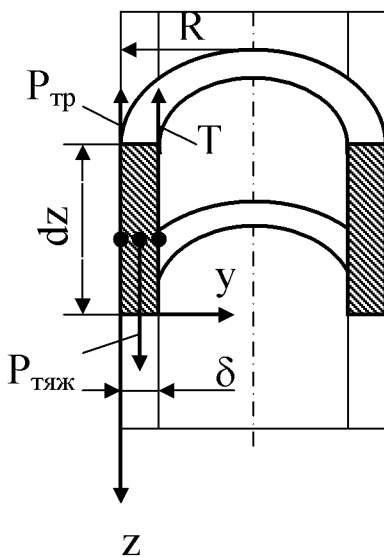


Рис.1. К расчёту толщины плёнки.

равным расходу жидкости в плёнке, то есть пограничный слой займет всю толщину плёнки. При вышеуказанных условиях, а также в режиме установившегося движения, плёнка будет иметь постоянную толщину на некоторой длине подъёмной трубы эрлифта.

Уравнение изменения количества движения для элемента жидкости объемом W , заключенного в полом цилиндре высотой dz , толщиной стенки δ , равной толщине плёнки, и радиусом R (рис. 1) будет иметь вид:

$$\frac{dI}{dt} = -P_{tp} + P_{tjek} - T, \quad (1)$$

где I – количество движения; T – сила трения на стенке трубопровода; P_{tjek} – сила тяжести выделенного элемента пленки объемом W ; P_{tp} – сила трения на границе “плёнка – газожидкостная смесь”.

Сила внутреннего трения на участке стенки трубы dz согласно гипотезе Ньютона определится как

$$T = \mu \cdot F \frac{du}{dy} = \tau_0 \cdot F = 2\pi R \tau_0 dz, \quad (2)$$

где μ – динамическая вязкость, τ_0 – касательное напряжение на внутренней поверхности подъемной трубы эрлифта.

Сила тяжести, действующая на выделенный объём равна

$$P_{тяжс} = mg = \rho g W = 2\pi \rho \delta g (R - \frac{\delta}{2}) dz, \quad (3)$$

где ρ - плотность жидкости в плёнке.

Силу трения на границе “плёнка – газожидкостная смесь” определим как

$$P_{mp} = \tau_{zp} \cdot 2\pi(R - \delta)dz, \quad (4)$$

где τ_{zp} – касательное напряжение на границе ”плёнка – газожидкостная смесь”.

Величину касательного напряжения на поверхности плёнки можно определить по зависимости, полученной в работе [8]:

$$\tau_{zp} = f \cdot \rho_{cm} \cdot \frac{V_{om}^2}{2}, \quad (5)$$

где $V_{om} = \left(\bar{V}_z'' - V \right)$ – относительная скорость газожидкостной смеси; V - скорость внешней границы плёнки; f – коэффициент трения поверхности плёнки о поверхность газожидкостного столба в подъемной трубе эрлифта; ρ_{cm} – плотность газожидкостной смеси в рассматриваемом сечении:

$$\rho_{cm} = \frac{\rho}{1 + q \frac{1}{1 + \frac{\rho gh}{P_a} - \frac{\rho g \alpha}{P_a} z}}, \quad (6)$$

\bar{V}_z'' - средняя скорость газожидкостного потока на границе с плёнкой:

$$\bar{V}_z'' = \frac{Q_{жс}}{F_{mp}} \cdot \frac{\rho}{\rho_{cm}}, \quad (7)$$

где q – удельный расход воздуха, отнесенного к нормальным условиям; h – глубина погружения эрлифта; α - относительное погружение; P_a – атмосферное давление; z – координата рассматриваемого сечения; $Q_{жс}$ – объемный расход жидкости в смеси; F_{tp} – площадь живого сечения подъемной трубы эрлифта.

Подставляя выражения (2- 5) в (1), получаем

$$\frac{dI}{dt} = -2\pi R \tau_0 dz + 2\rho \delta \pi g (R - \frac{\delta}{2}) dz - f \rho_{cm} \frac{V_{om}^2}{2} 2\pi (R - \delta) dz. \quad (8)$$

В ряде работ [2, 5, 8], посвящённых определению распределения скорости жидкости по толщине плёнки, отмечено, что оно носит степенной характер и имеет вид:

$$\frac{u}{V} = \left(\frac{y}{\delta} \right)^n, \quad (9)$$

а касательное напряжение на поверхности стекания определяется зависимостью, полученной Блаузиусом:

$$\tau_0 = \xi \frac{\rho V^2}{2} \left(\frac{V \delta}{\nu} \right)^{-m}, \quad (10)$$

где u – локальное значение скорости в направлении оси z ; y – координата, нормальная направлению движения жидкости в плёнке; $m = 2n/(n+1)$ – показатель степени.

Коэффициент сопротивления движению пленки ξ и показатель степени закона распределения скорости жидкости по сечению плёнки n зависят от числа Re и могут быть определены по соответствующим графическим зависимостям [8].

Массовый расход жидкости через поперечное сечение выделенного элемента пленки площадью $2\pi R dy$ равен $2\pi R \rho u dy$. Количество движения этой массы равно $2\pi R \rho u^2 dy$. Таким образом, количество движения за единицу времени массы, протекающей через верхнюю грань выделенного элемента пленки

$$I_e = \int_0^\delta 2\pi R \rho u^2 dy \quad (11)$$

Так как количество движения в единицу времени вдоль оси z через поперечное сечение есть функция от z , то количество движения, за единицу времени в нижнем поперечном сечении выделенного элемента пленки можно записать как $I_h = I_b + \Delta I_b$, где ΔI_b – приращение количества движения за единицу времени; I_h , I_b – количество движения за единицу времени массы жидкости, протекающей соответственно через нижнее и верхнее сечение выделенного элемента пленки.

Предположим, что жидкость, попадающая в пленку через боковую грань выделенного элемента, разгоняется ею до скорости V . При этом количество движения за единицу времени массы жидкости, про-

текающей через боковую грань выделенного элемента пленки примет вид:

$$I_b = V \cdot Q_{mb}, \quad (12)$$

где I_b - количество движения за единицу времени массы жидкости, протекающей через боковую грань выделенного элемента пленки; Q_{mb} – массовый расход жидкости через боковую грань выделенного элемента пленки:

$$Q_{mb} = Q_{mh} - Q_{mv}, \quad (13)$$

где Q_{mv} , Q_{mh} – массовый расход жидкости соответственно через верхнюю и нижнюю грань выделенного элемента пленки.

Массовый расход жидкости можно представить в виде:

$$Q_m = \int_0^\delta 2\pi R \rho u dy. \quad (14)$$

Тогда массовый расход жидкости через боковую грань выделенного элемента пленки примет вид:

$$Q_{mb} = \Delta \left(\int_0^\delta 2\pi R \rho u dy \right), \quad (15)$$

а количество движения за единицу времени массы жидкости, протекающей через боковую грань выделенного элемента пленки:

$$I_b = V \cdot \Delta \left(\int_0^\delta 2\pi R \rho u dy \right) \quad (16)$$

Тогда приращение количества движения за единицу времени определится как:

$$\frac{dI}{dt} = I_h - I_b - I_b = \Delta I_b - I_b = \Delta \left(\int_0^\delta 2\pi R \rho u^2 dy \right) - V \cdot \Delta \left(\int_0^\delta 2\pi R \rho u dy \right) \quad (17)$$

Подставив полученное выражение в уравнение для количества движения (8) и разделив обе части на Δz , и затем переходя к пределу при $\Delta z \rightarrow 0$ получим

$$\begin{aligned} \frac{d}{dz} \left(\int_0^\delta 2\pi R \rho u^2 dy \right) - V \cdot \frac{d}{dz} \left(\int_0^\delta 2\pi R \rho u dy \right) &= -2\pi R \tau_0 + 2\rho \delta \pi g \left(R - \frac{\delta}{2} \right) - \\ &- f \rho_{cm} \frac{V_{om}^2}{2} 2\pi (R - \delta). \end{aligned} \quad (18)$$

Массовый расход при степенном законе распределения скорости можно записать в виде:

$$Q_m = \int_0^\delta 2\pi R \rho u dy = 2\pi R \rho \int_0^\delta V \left(\frac{y}{\delta}\right)^n dy = \frac{2\pi R}{n+1} \rho V \delta. \quad (19)$$

Отсюда скорость жидкости на границе плёнки определяется как

$$V = (n+1) \frac{Q_m}{2\pi R \rho \delta}. \quad (20)$$

Подставляя (19) в выражение (10) определяем

$$\begin{aligned} \tau_0 &= \frac{\xi \rho}{2} \left(\frac{(n+1)Q_m}{2\pi R \rho \delta} \right)^2 \left(\frac{\delta(n+1)Q_m}{2\nu \pi R \rho \delta} \right)^{-m} = \\ &= \frac{\xi}{2} \rho^{m-1} Q_m^{2-m} \nu^m (n+1)^{2-m} (2\pi R)^{m-2} \delta^{-2}. \end{aligned} \quad (21)$$

При степенном законе распределения скорости с учетом (20),(21) уравнение (18) примет вид:

$$\begin{aligned} - \left(\frac{(n+1) \cdot Q_m^2}{2\pi R \rho \delta^2} \cdot \left(\frac{n+1}{2n+1} - 1 \right) \right) \frac{d\delta}{dz} &= -2\pi R \xi (n+1)^{2-m} \frac{\rho^{m-1} \nu^m}{2\delta^2} (2\pi R)^{m-2} Q_m^{2-m} + \\ &+ 2\rho \delta \pi g (R - \frac{\delta}{2}) - f \rho_{cm} V_{om}^2 \pi (R - \delta). \end{aligned} \quad (22)$$

Полагая, что при установившемся течении толщина плёнки постоянна $\delta = \text{const}$ и $\frac{d\delta}{dz} = 0$, а так же принимая во внимание, что величины $(R-\delta)$ и $(R-\delta/2)$ стремятся к величине R , так как $R \gg \delta$, получаем уравнение, которое после упрощений будет иметь вид:

$$\delta^3 - f \frac{\rho_{cm}}{\rho} \frac{V_{om}^2}{2g} \delta^2 - \xi (n+1)^{2-m} \rho^{m-2} \nu^m (2\pi R)^{m-2} \frac{Q_m^{2-m}}{2g} = 0 \quad (23)$$

Решая уравнение (23) относительно δ получаем три корня уравнения, два из которых комплексные. Следовательно, решением уравнения будет действительное положительное решение, которое имеет вид:

$$\delta = \frac{1}{6} \cdot s + \frac{1}{3} \cdot b + \frac{2}{3} \cdot \frac{b^2}{s}, \quad (24)$$

где δ - толщина пленки движущейся по подъемной трубе; s, b, c – коэффициенты замены переменных:

$$b = f \frac{\rho_{cm}}{\rho} \frac{V_{om}^2}{2g}; c = \xi (n+1)^{2-m} \rho^{m-2} \nu^m (2\pi R)^{m-2} \frac{Q_m^{2-m}}{2g} \quad (25)$$

$$s = \sqrt[3]{c \cdot \left(2 \frac{f^3 \rho_{cm}^3 V_{om}^6}{\xi \rho^{m+1} g^2 (n+1)^{2-m} v^m (2\pi R)^{m-2} Q_m^{2-m}} + \right.} \\ \left. + 12 \sqrt{81 + 3 \frac{f^3 \rho_{cm}^3 V_{om}^6}{\xi \rho^{m+1} g^2 (n+1)^{2-m} v^m (2\pi R)^{m-2} Q_m^{2-m}}} + 108 \right)}, \quad (26)$$

Таким образом, нами получены зависимости толщины плёнки жидкости, движущейся по стенкам подъемной трубы эрлифта, от величины относительной скорости V_{ot} и от массового расхода жидкости в пленке Q_m . Полученные зависимости имеют ряд неточностей, так как процесс стекания пленки в эрлифтах сложнее, чем мы предполагаем (не учтено вихревое движение транспортируемой вверх газожидкостной смеси, не учтено газосодержание в смеси по сечению и т.д.). Поэтому изучение рассмотренного явления приходится вести приближенным методом, и справедливость ряда сделанных допущений и упрощений трудно оценить только теоретически. В связи с этим в дальнейшем, нами будет проведена более детальная опытная проверка, так как в известных работах по экспериментальному исследованию эрлифтных установок отсутствуют опытные данные, с которыми можно сопоставить полученные теоретические результаты.

Список источников:

- Ганчев Б.Г., Козлов В.М., Лозовецкий В.В. Экспериментальное исследование гидродинамики пленок жидкости, стекающих под действием силы тяжести по вертикальным поверхностям // Изв. вузов СССР. Машиностроение. - 1970 - №2. – с.75 – 80.
- Кутателадзе С.С., Миронов Б.П. Экспериментальное исследование пристенных турбулентных течений. Изд- во “Наука”, Новосибирск, 1975.
- Алексеенко С.В. и др. Волновое течение пленок жидкости., Новосибирск, 1992, - 256с.
- Капица П.Л., Капица С.П. Волновое течение тонких слоев вязкой жидкости // ЖЭТФ. – т.19, вып.2 – с.105 –120.
- Семенов П. Течение жидкости в тонких слоях// ЖТФ, - 1944, - т.24, - вып. 7-8, с. 425 – 437.
- Дейч М.Е., Филиппов Г.А. Газодинамика двухфазных сред М.: Энергоиздат, 1981. – 472с.
- Кутателадзе С.С., Стырикович М.А. Гидродинамика газожидкостных систем. – М.:Энергия, 1976. – 296с.
- Фабрикант Н.Я. Аэродинамика. – М.: Наука, - 1964. – 876с.

Рекомендовано к печати докт. техн. наук, проф. Логвиновым Н.Г.